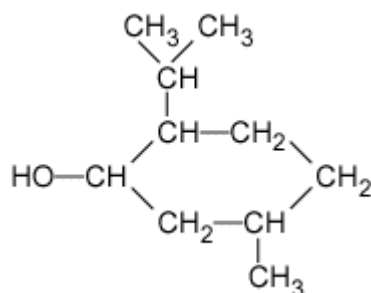


Solvant	Dichlorométhane	Cyclohexane	Ethanol	Eau
Densité	1,33	0,78	0,79	1
Miscibilité avec l'eau	Non miscible	Non miscible	Miscible	
Miscibilité avec l'éthanol	Non miscible	Non miscible		Miscible
Solubilité du menthol à 25°C	Très soluble	Peu soluble	Soluble	Non soluble
Solubilité de la menthone à 25°C	Très soluble	Très soluble	Soluble	Non soluble

Tableau de données de spectroscopie infrarouge (IR) :

Liaison	Nombre d'onde (cm ⁻¹)	Intensité
O-H libre	3500 - 3700	Forte, fine
O-H liée	3200-3400	Forte, large
O-H acide carboxylique	2500-3200	Forte à moyenne, large
C-H	2800-3000	Forte
C=O aldéhyde et cétone	1650-1730	Forte
C=O acide carboxylique	1680-1710	Forte
C=C	1640-1680	Moyenne

1. La formule semi-développée du menthol est représentée ci-après :

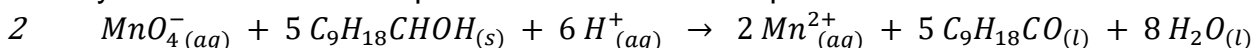


Justifier le fait que le menthol fasse partie de la famille des alcools



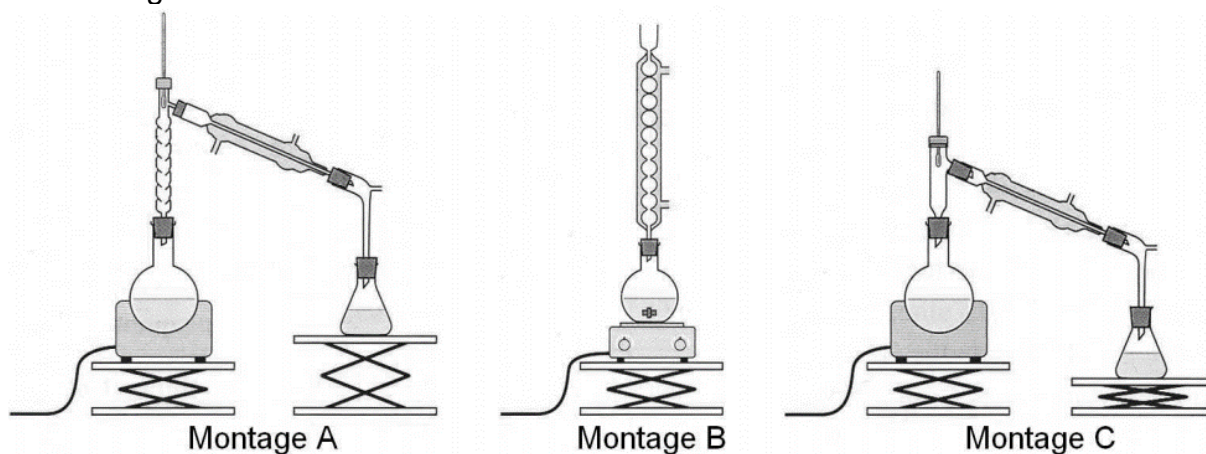
2. Sachant que lors de l'oxydation ménagée du menthol en menthone seul le groupe caractéristique est modifié et que la menthone appartient à la famille des cétones, représenter la formule semi-développée de la molécule de menthone.

3. L'oxydation du menthol en menthone s'effectue en milieu acide par l'ion permanganate MnO_4^- (aq) qui appartient au couple oxydant-réducteur MnO_4^- (aq)/ Mn^{2+} (aq). Cette oxydation est modélisée par une réaction dont l'équation est la suivante :



Justifier le fait que le menthol subit une oxydation.

4. On réalise, au laboratoire du lycée, l'oxydation d'une masse $m = 15,6 g$ de menthol par un volume $V = 200 mL$ d'une solution aqueuse acide permanganate de potassium dont la concentration en ions permanganate est $C = 0,5 mol.L^{-1}$. Le mélange est acidifié par quelques millilitres d'acide sulfurique concentré. Le dispositif expérimental utilisé est celui du chauffage à reflux.



4.1. Parmi les montages A, B et C précédents, indiquer celui qu'il convient de choisir pour réaliser le chauffage à reflux.

4.2. Expliquer le rôle des différents éléments de verrerie dans le montage à reflux.

4.3. En s'aidant éventuellement d'un tableau d'avancement, montrer que, lors de cette oxydation, le menthol est le réactif limitant.

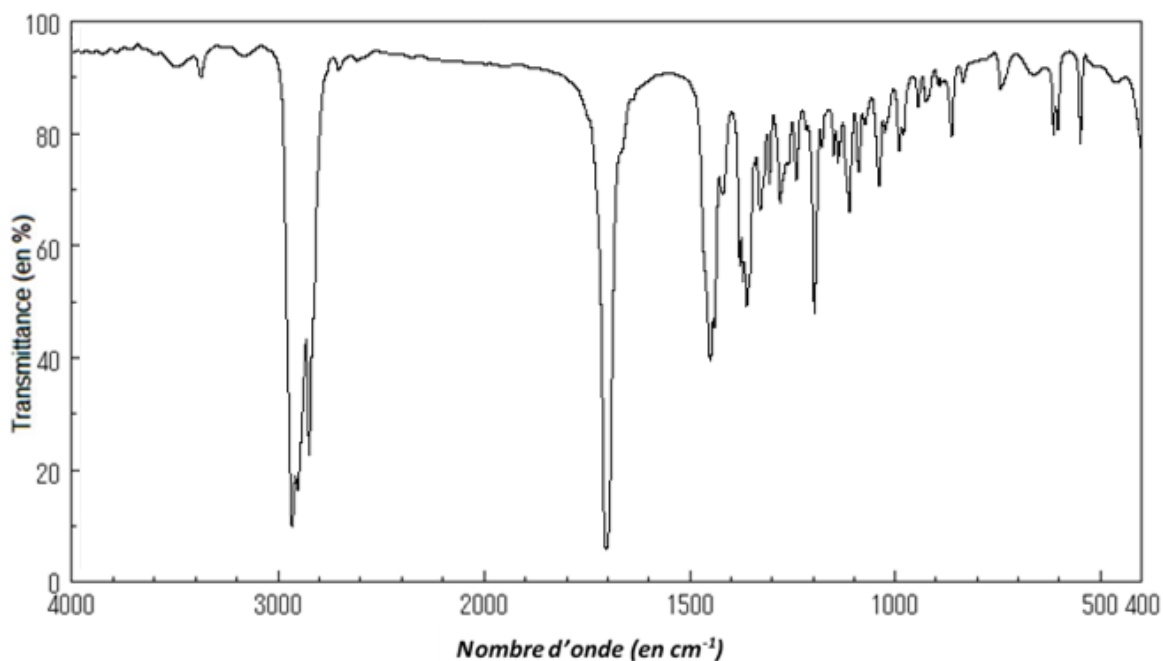
4.4. Déterminer la masse théorique maximum m_{th} de menthone que l'on peut obtenir.



5. On transvase le contenu du ballon dans une ampoule à décanter et on y ajoute 20 mL d'un solvant extracteur. On agite puis on laisse reposer. On observe la séparation de 2 phases, la phase organique surnageant.

Déterminer quel solvant, parmi le dichlorométhane, le cyclohexane, l'éthanol et l'eau, a été utilisé pour extraire la menthone du mélange réactionnel. Justifier

6. La séparation de la menthone du solvant extracteur se fait en réalisant une distillation. En fin d'opération on obtient une masse $m_{exp} = 10,3 \text{ g}$ de distillat que l'on considère être de la menthone pure. On réalise le spectre infrarouge du distillat ; il est reproduit ci-après.



Source : Spectral database for organic compounds (https://sdfs.db.aist.go.jp/sdfs/cgi-bin/cre_index.cgi)

6.1. Justifier que le spectre précédent est compatible avec celui de la menthone.

6.2. Déterminer le rendement de cette synthèse. Conclure.

Aide au calcul : $\frac{103}{153} = 0,673$; $103 \times 153 = 1,58 \times 10^4$; $\frac{153}{103} = 1,48$

Modèle CCYC : ©DNE

Nom de famille (naissance) :

(Suivi s'il y a lieu, du nom d'usage)

Prénom(s) :

N° candidat : N° d'inscription :

(Les numéros figurent sur la convocation.)

Né(e) le : / /



1.1

PARTIE B

Un drone pour ausculter la couverture végétale (10 points)

Les drones, d'une technologie simple et peu coûteuse, sont utilisés dans le domaine de la télédétection par les agriculteurs et l'ONF (Office National des Forêts) pour le suivi du couvert végétal. Le procédé consiste à analyser la lumière réfléchie par les végétaux en les survolant pour connaître, entre autres, leur état de santé. L'activité plus ou moins importante de la photosynthèse est un bon indicateur du cycle de vie du végétal. Le profil spectral obtenu permet également d'apporter des éléments d'analyse précieux et de dresser rapidement des cartographies de grandes étendues végétales.

Partie 1 : étude du vol du drone

Les courbes présentées en annexe **À RENDRE AVEC LA COPIE** montrent l'évolution des énergies cinétique E_c et mécanique E_m du drone lors d'un vol d'observation rectiligne. Localement, l'intensité de la pesanteur g a une valeur voisine de $10 \text{ N}\cdot\text{kg}^{-1}$.

- 1.1 Qualifier le mouvement du drone. Justifier la réponse.
- 1.2 Montrer, sans calcul, que l'altitude de vol du drone h est constante.

Ces représentations graphiques ont été obtenues grâce au programme en langage Python présenté en annexe **À RENDRE AVEC LA COPIE** et à partir des relevés du temps de vol, de la vitesse d'évolution du drone et de son altitude lors du vol d'observation. Une partie du script est volontairement cachée et manquante.

- 1.3 Repérer le numéro de la ligne du programme où apparaît la masse m du drone puis noter la valeur de m avec son unité.
- 1.4 En s'aidant des représentations graphiques, calculer l'altitude de vol du drone. L'énergie potentielle de pesanteur E_{pp} est considérée nulle au niveau du sol.

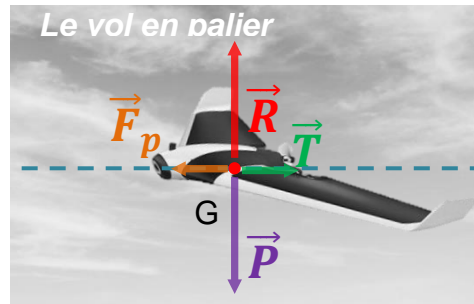
Aide au calcul :

$850/7,00 \approx 121$	$900/7,00 \approx 129$	$7,00/850 \approx 8,24 \times 10^{-3}$	$7,00/900 \approx 7,78 \times 10^{-3}$
------------------------	------------------------	--	--

- 1.5 Sur le programme fourni en annexe **À RENDRE AVEC LA COPIE**, écrire, à la bonne place, l'instruction permettant de calculer l'énergie potentielle de pesanteur puis celle permettant sa représentation graphique.
- 1.6 Tracer la courbe représentant l'évolution de l'énergie potentielle de pesanteur du drone au cours du vol sur le graphique de l'annexe **À RENDRE AVEC LA COPIE**.



Lors d'un vol rectiligne en palier (altitude fixe) à vitesse constante, on considère qu'un drone à ailes est soumis à quatre actions mécaniques modélisées par les forces suivantes : le poids \vec{P} du drone, la force de propulsion \vec{F}_p , la traînée totale \vec{T} qui s'oppose au déplacement et la portance \vec{R} générées par la circulation de l'air autour de l'avion. On peut se référer au schéma ci-après.



Représentation des forces s'exerçant sur le drone dans les conditions du vol étudié

(d'après <https://www.drone-academy.fr/reglementation-drones-ailes-volantes/>)

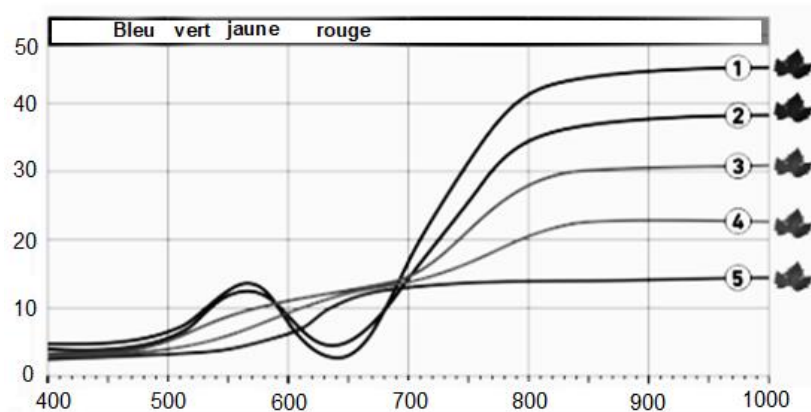
1.7 À partir de la première loi de Newton appliquée au drone durant le vol rectiligne en palier, montrer que l'intensité F_p de la force de propulsion est égale à l'intensité T de la traînée totale.

Le candidat est invité à présenter son raisonnement de manière claire et ordonnée. Toute tentative de réponse, même incomplète, sera valorisée.

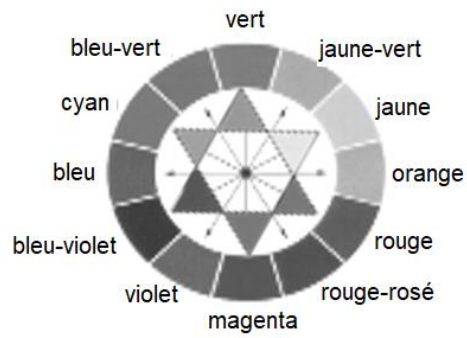
Partie 2 : analyse de la lumière réfléchie par la couverture végétale

La lumière incidente reçue par un végétal est partiellement absorbée, transmise et réfléchie. La part de lumière réfléchie est analysée par un spectrophotomètre qui permet d'obtenir le « profil spectral du végétal ». Les courbes du document ci-dessous représentent la proportion de lumière réfléchie par rapport à la lumière incidente (réflectance) en fonction de la longueur d'onde λ .

La signature spectrale des feuilles dans le visible (longueur d'onde comprise environ entre 400 nm et 800 nm) reflète l'activité chlorophyllienne. Dans la partie du proche infrarouge (longueur d'onde comprise environ entre 800 et 3000 nm environ), la réflectance dépend de l'état de la structure interne des cellules de la feuille.



Réflectance (%) en fonction de la longueur d'onde λ (nm)



Cercle chromatique

2.6 Montrer que les couleurs absorbées permettent d'expliquer la couleur verte diffusée par le végétal sain.

